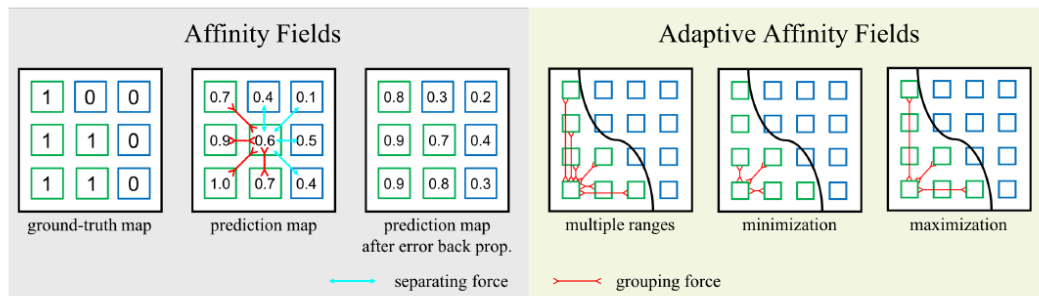


1.1 Affinity Fields



相似场的方法是一种后处理方法，在已经生成分割结果后，对分割结果的进一步优化。如上图所示，当相似场的 $\text{kernel_size} = 3 \times 3$ 时，对于第二张图中预测概率为 0.6 的中间点，所有绿色的点和它属于同一类别，蓝色属于其他类别。

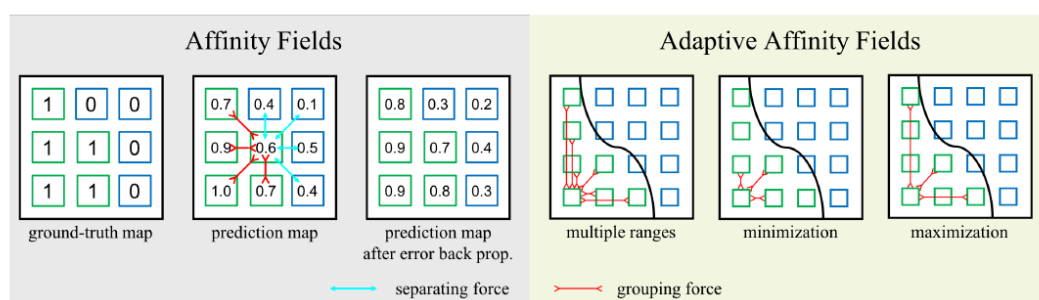
相似场的 LOSS 为：

$$\mathcal{L}_{\text{affinity}}^{ic} = \begin{cases} \mathcal{L}_{\text{affinity}}^{ic} = D_{KL}(\hat{y}_j(c) || \hat{y}_i(c)) & \text{if } y_i(c) = y_j(c) \\ \mathcal{L}_{\text{affinity}}^{ic} = \max\{0, m - D_{KL}(\hat{y}_j(c) || \hat{y}_i(c))\} & \text{otherwise} \end{cases} \quad (3)$$

经过反向传播后，如果两个点属于同一类则使他们的预测概率更加相近；如果属于不同类则使他们的预测概率差异更大。如上图图 3 所示。

1.2 Adaptive Affinity Fields (AAF)

但是相似场的 kernel_size 是固定的，而物体的尺寸却是多样化的。因此 kernel_size 能够根据特征而自适应的调整尺寸很重要，自适应相似场由此被提出。



这里使用对抗网络（GAN）的方式，自适应的找出每个区域所适合的相似场的 kernel_size ，从数学上表达即为对不同区域，给不同 kernel_size 以不同的权重得到一个加权的 kernel_size 。

$$\mathcal{L}_{\text{multiscale}} = \sum_c \sum_k w_{ck} \mathcal{L}_{\text{region}}^{ck} \quad \text{s.t.} \quad \sum_k w_{ck} = 1 \text{ and } w_{ck} \geq 0$$

在实验中，作者设定了 3x3, 5x5 和 7x7 三种尺寸。下图即为对于不同类别，在 AAF 的处理过程中的不同 kernel size 权重不同。

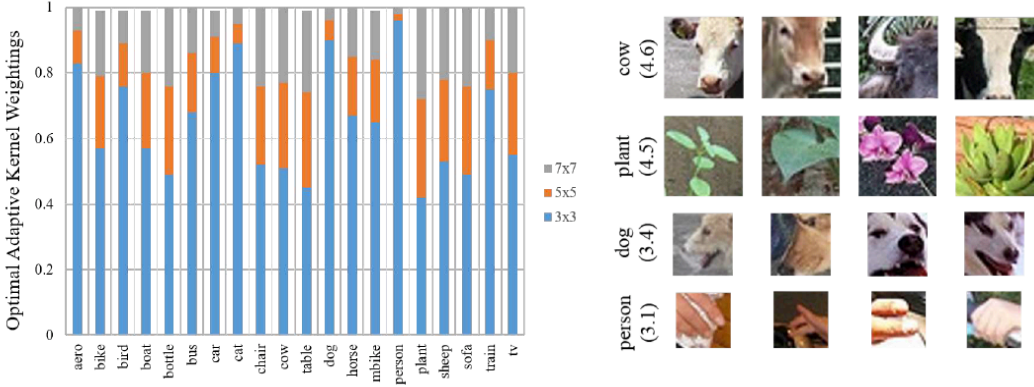


Fig. 4. Left: The optimal weightings for different kernel sizes of the edge term in AAF for each category on PASCAL VOC 2012 validation set. **Right:** Visualization of image patches with corresponding effective receptive field sizes, suggesting how kernel sizes capture the shape complexity in critical regions of different categories.

实验结果表明，这种尺寸自适应的方式比单纯的固定尺寸方式，在 cityscapes 验证集上提高了 0.52% 的 mIoU。

| Method | road | swalk | build. | wall | fence | pole | tlight | tsign | veg. | terrain | sky | person | rider | car | truck | bus | train | mbike | bike | mIoU |
|----------|-------|-------|--------|-------|-------|-------|--------|-------|-------|---------|-------|--------|-------|-------|-------|-------|-------|-------|-------|-------|
| FCN | 97.31 | 79.28 | 89.52 | 38.08 | 48.63 | 49.70 | 59.37 | 69.94 | 90.86 | 56.58 | 92.38 | 75.91 | 46.24 | 92.26 | 50.41 | 64.51 | 39.73 | 54.91 | 73.07 | 66.77 |
| PSPNet | 97.96 | 83.89 | 92.22 | 57.24 | 59.31 | 58.89 | 68.39 | 77.07 | 92.18 | 63.71 | 94.42 | 81.80 | 63.11 | 94.85 | 73.54 | 84.82 | 67.42 | 69.34 | 77.42 | 76.72 |
| Affinity | 97.52 | 80.90 | 90.42 | 40.45 | 49.81 | 55.97 | 63.92 | 73.37 | 91.49 | 59.01 | 93.30 | 78.17 | 52.16 | 92.85 | 52.53 | 65.78 | 39.28 | 52.88 | 74.53 | 68.65 |
| AAF | 97.58 | 81.19 | 90.50 | 42.30 | 50.34 | 57.47 | 65.39 | 74.83 | 91.54 | 59.25 | 93.11 | 78.65 | 52.98 | 93.15 | 53.10 | 67.58 | 38.40 | 51.57 | 74.80 | 69.14 |
| CRF | 97.96 | 83.82 | 92.14 | 57.16 | 59.28 | 57.48 | 67.71 | 76.61 | 92.09 | 63.67 | 94.35 | 81.62 | 62.98 | 94.81 | 73.59 | 84.81 | 67.49 | 69.22 | 77.28 | 76.53 |
| GAN | 97.95 | 83.59 | 92.01 | 56.92 | 60.17 | 58.63 | 68.37 | 77.36 | 92.28 | 62.70 | 94.42 | 81.59 | 62.27 | 94.94 | 78.09 | 82.79 | 56.75 | 69.19 | 77.78 | 76.20 |
| Affinity | 98.08 | 85.58 | 92.60 | 58.33 | 61.45 | 66.80 | 74.19 | 81.29 | 92.90 | 65.34 | 94.87 | 84.00 | 65.84 | 95.50 | 76.84 | 85.80 | 64.19 | 72.32 | 79.83 | 78.72 |
| AAF | 98.18 | 85.35 | 92.86 | 58.87 | 61.48 | 66.64 | 74.00 | 80.98 | 92.95 | 65.31 | 94.91 | 84.27 | 66.98 | 95.51 | 79.39 | 87.06 | 67.80 | 72.91 | 80.19 | 79.24 |

Table 3. Per-class results on Cityscapes validation set. Gray colored background denotes using FCN as the base architecture.